

**UNIVERSITE
PARIS-SUD XI**

Master 2 de Dynamique des Fluides et Energétique

Techniques Expérimentales Avancées en Mécanique des Fluides

2013-2014

Mesures ultrasonores dans les fluides et les milieux dispersés

Transparents disponibles sur:

<http://www.fast.u-psud.fr/~martin/enseignement.php>

Jérôme MARTIN

CNRS, laboratoire FAST

Bat 502-91405 Orsay

Mél: martin@fast.u-psud.fr

Tél: 01 69 15 80 82

Mesures acoustiques :

Méetrologie basée sur la propagation d'ondes élastiques

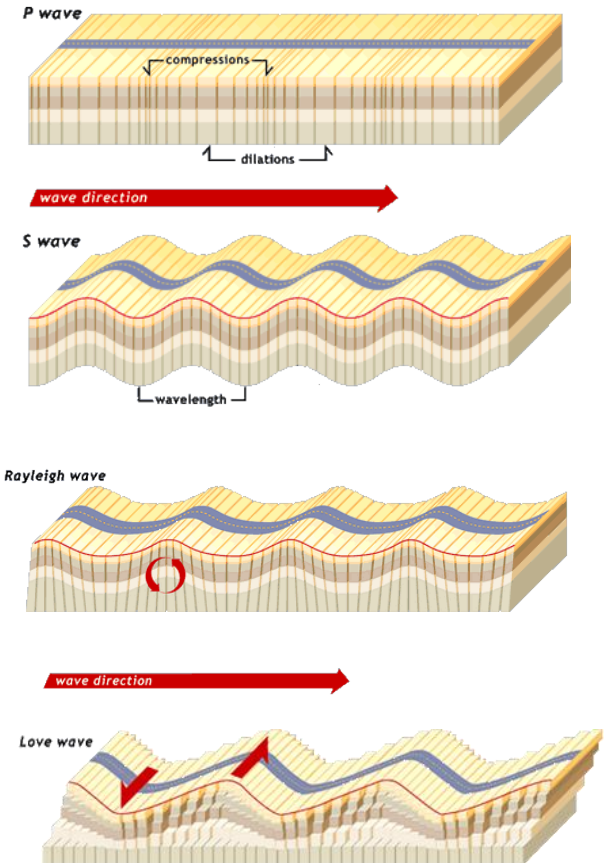
- Mesures des propriétés élastiques des matériaux
- Ondes sismiques: géologie, prospection pétrolière... (f =1-20 Hz)
- Sonars (f =1Hz -20 kHz)
- Ultrasons :
(20MHz > f > 20 kHz, 100μm < λ <10cm)
 - « trajets acoustiques»→ niveaux, débitmètre
 - Mesures de défauts, échographie
 - Vélocimétrie (mesure d'effet Doppler)
 - Concentrations et caractérisation des milieux dispersés

Propagation du son : 4 types d'ondes

Ondes de déformation élastique :

- Longitudinales (P, de compression)
- Transverses (T, de cisaillement)
- Ondes de surface (sur $e \lesssim \lambda = c/f$)
- Ondes de plaques (pour $e \approx \lambda = c/f$)

 [\(autres exemples d'ondes\)](#)



Propagation du son en volume

(Approche tensorielle: [cours Marc François](#))

Ondes de déformation élastique :

$$c = \sqrt{\frac{K}{\rho}}$$

K=module élastique (Pa);
 ρ =masse volumique (kg/m³)

air: 300 m/s

solide: qlq km/s

Longitudinales (P, compression)

Transverses (T, de cisaillement)

$$c_l = \sqrt{\frac{(\lambda + 2\mu)}{\rho}}$$

$$c_t = \sqrt{\frac{\mu}{\rho}}$$

Coeff de Lamé=f(module d'Young; coeff de Poisson)

$$\lambda = \frac{\nu E}{(1+\nu)(1-2\nu)}$$

$$\mu = \frac{E}{2(1+\nu)}$$

$$c_{ext} = \sqrt{\frac{E}{\rho}}$$

μ : module de torsion (Pa)

Propagation, réflexion et réfraction :

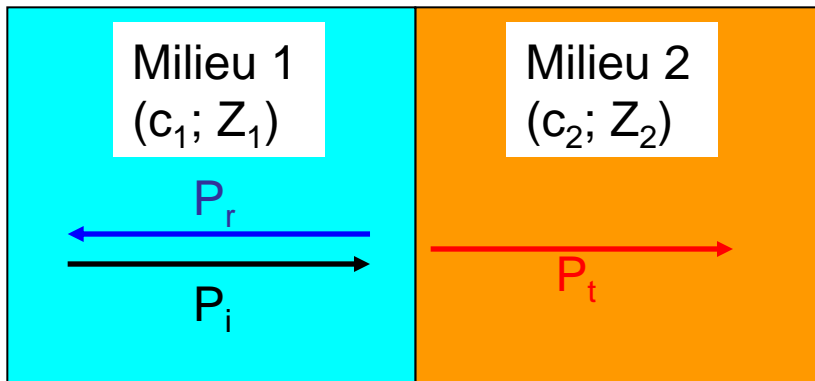
- Vitesse et impédance acoustiques

$$c = \sqrt{\frac{K}{\rho}} \quad Z = P/\dot{u} = \rho c$$

(où K=module élastique
≠ module d'incompressibilité:

- Réflexion / transmission entre deux milieux

$$V \frac{\partial P}{\partial V} = \frac{E}{3(1-2\nu)} \quad)$$



Amplitude de l'onde:

$$t = \frac{P_t}{P_i} = \frac{2Z_2}{Z_1 + Z_2}$$

$$r = \frac{P_r}{P_i} = \frac{Z_1 - Z_2}{Z_1 + Z_2}$$

Energie:

$$T = \frac{4Z_1 Z_2}{(Z_1 + Z_2)^2} \quad R = \frac{(Z_1 - Z_2)^2}{(Z_1 + Z_2)^2}$$

Rq: pour angles α_1 et α_2 :

$$Z_1 \rightarrow Z_1 / \cos \alpha_1 \quad \text{et} \quad Z_2 \rightarrow Z_2 / \cos \alpha_2$$

(Réflexion et réfraction: [cas général](#))

Propagation, réflexion et réfraction :

- Vitesse et impédance acoustiques

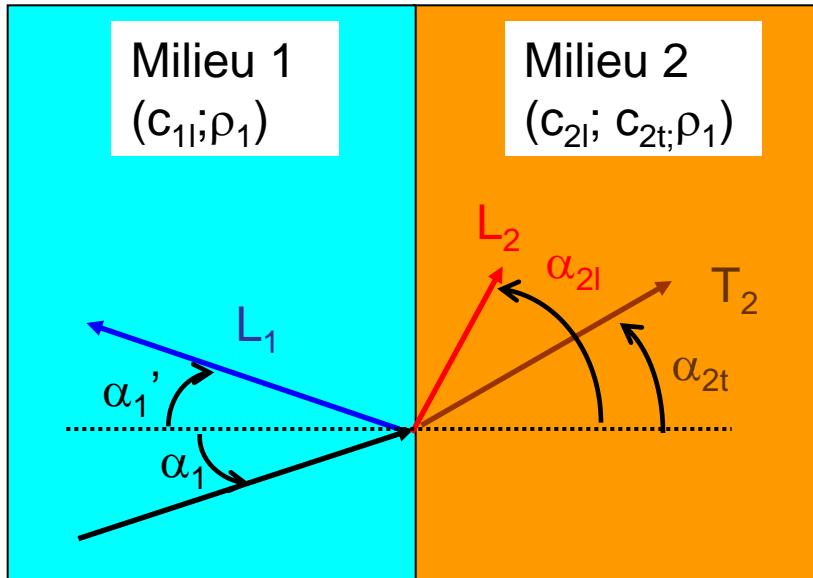
$$c = \sqrt{\frac{K}{\rho}} \quad Z = P/\dot{u} = \rho c$$

matériau	compression		cisaillement	
	C (m/s)	Z (Pa.s/m)	C (m/s)	Z (Pa.s/m)
Air	330	420		
Eau	1500	1,5 10 ⁶		
Aluminium	6350	17 10 ⁶	3100	8,4 10 ⁶
Polystyrène	2350	2,1 10 ⁶	1120	1 10 ⁶
Polyéthylène	1950	1,9 10 ⁶	540	0,5 10 ⁶

Remarque: Les propriétés élastiques dépendent de T !!

Réflexion et réfraction :

- Réflexion / réfraction entre deux milieux 



Réflexion:

$$\alpha_1' = \alpha_1$$

Réfraction: loi de Snell-Descartes:

$$\frac{\sin \alpha_1}{c_1} = \frac{\sin \alpha_{2l}}{c_{2l}} = \frac{\sin \alpha_{2t}}{c_{2t}}$$

Incidences critiques:

$$\sin \alpha_1^l = \frac{c_1}{c_{2l}} \quad \sin \alpha_1^t = \frac{c_1}{c_{2t}}$$

Rq: Réflexion et réfraction: [cas général](#))

pour angles α_1 et α_2 :

$Z_1 \rightarrow Z_1 / \cos \alpha_1$ et $Z_2 \rightarrow Z_2 / \cos \alpha_2$

Affaiblissements des ondes:

- **Absorption** = dégradation de l'énergie vibratoire en chaleur

$$\frac{P}{P_0} = e^{-\alpha_{att}d}$$

$$\alpha_{att} = -20 \log \frac{P}{P_0} / d \quad (\text{dB}/\text{m})$$

- **Diffusion** = dispersion de l'énergie par les hétérogénéités $\approx \lambda$

Diffusion Rayleigh: $ka < 1 \rightarrow \alpha_{att} \propto (f, a^3 f^2)$

$ka > 1 \rightarrow \alpha_{att} \propto (af^2)$

$ka \gg 1 \rightarrow \alpha_{att} \propto (f, f^2, 1/a)$

Rq: pour les hétérogénéités $\gg \lambda \rightarrow$ réflexion/réfraction

- **Divergence du faisceau**

$$\sin \theta_{1/2} = k_{(dB)} \left(\frac{\lambda}{D} \right)$$

D: diamètre du transducteur

Rq: plus la longueur d'onde est faible, moins l'onde se propage loin!

... Mais aussi...

- **Non-linéarités**

EX: Angelo et al. , Phys. Rev Lett. **93**, 214301 (2004).

Excitation à f_1 et f_2 **➡** Mesure de la réponse à (f_1+f_2) et (f_1-f_2)

(autre technique pour tester la « solidification »)

- **Ondes « actives »**

- cuves à ultrasons

- Confinement par ondes stationnaires

ex: lévitation acoustique 

mais aussi confinement de particules, de jets....

voir: Gröschl. , Acustica. **84**, 432 (1998).

Transducteurs:

- **Contact/immersion**
- **À sabot**
(transversales /longitudinales sous incidence oblique)
- **Multiéléments**
(scan)



- **Faisceau**

« Near Zone »

$$N = \frac{D^2 - \lambda^2}{4\lambda}$$

Divergence du faisceau

$$\sin \theta_{1/2} = k_{(dB)} \left(\frac{\lambda}{D} \right)$$

D: diamètre du transducteur

Mesures utilisant la propagation dans un fluide (mesure de durée de transit) :

- **Onde de compression :** $c = \sqrt{\frac{K}{\rho}}$
vitesse de propagation (m/s)
air: 300 m/s eau: 1500 m/s

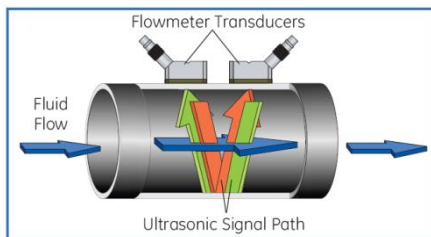
➤ Dans un fluide de vitesse V :

propagation à la vitesse $c+V$ ou $c-V$: $V = \frac{L}{2} \left(\frac{1}{t^+} - \frac{1}{t^-} \right)$

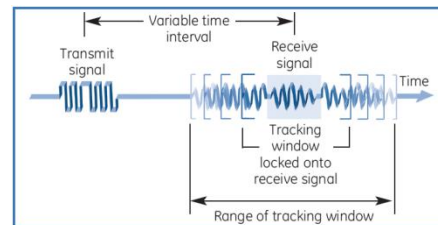
→ Anémomètres à ultrasons

Vitesses: 0-50 m/s+/-2%

→ débitmètres à ultrasons

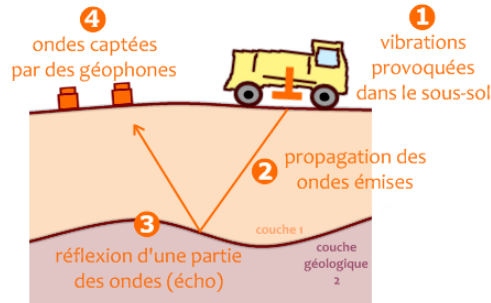


Transit-time flow measurement technique



Techniques utilisant les échos :

- Sismique et prospection pétrolière ($f \approx 10\text{Hz}$) :



- Echographies médicales :

Mesure de $Z(\vec{r})$



- Renversement temporel (focalisation) :
Thermothérapie (élimination de calculs)

Echos et Doppler :

- Effet Doppler

- Emetteur et récepteur mobiles:

$$f_{reçue} = \frac{c - V_{récepteur}}{c + V_{émetteur}} f_{émise}$$

- En écho sur un objet mobile:

$$f_{reçue} = \frac{c - V}{c + V} f_{émise}$$

- Echographie Doppler :

- Mesure de la vitesse des globules rouges

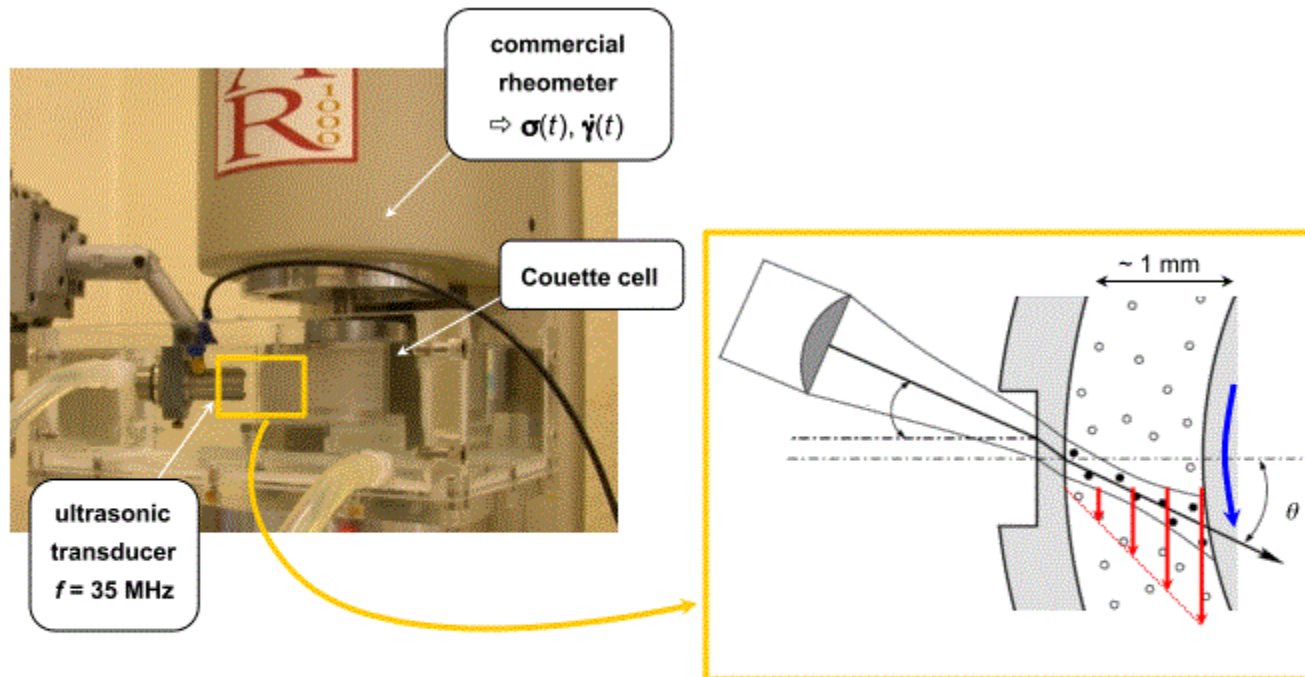
- Vélocimétrie Doppler :

- Fréquence \longrightarrow vitesse

- Temps de vol \longrightarrow distance du réflecteur

- \longrightarrow position de mesure

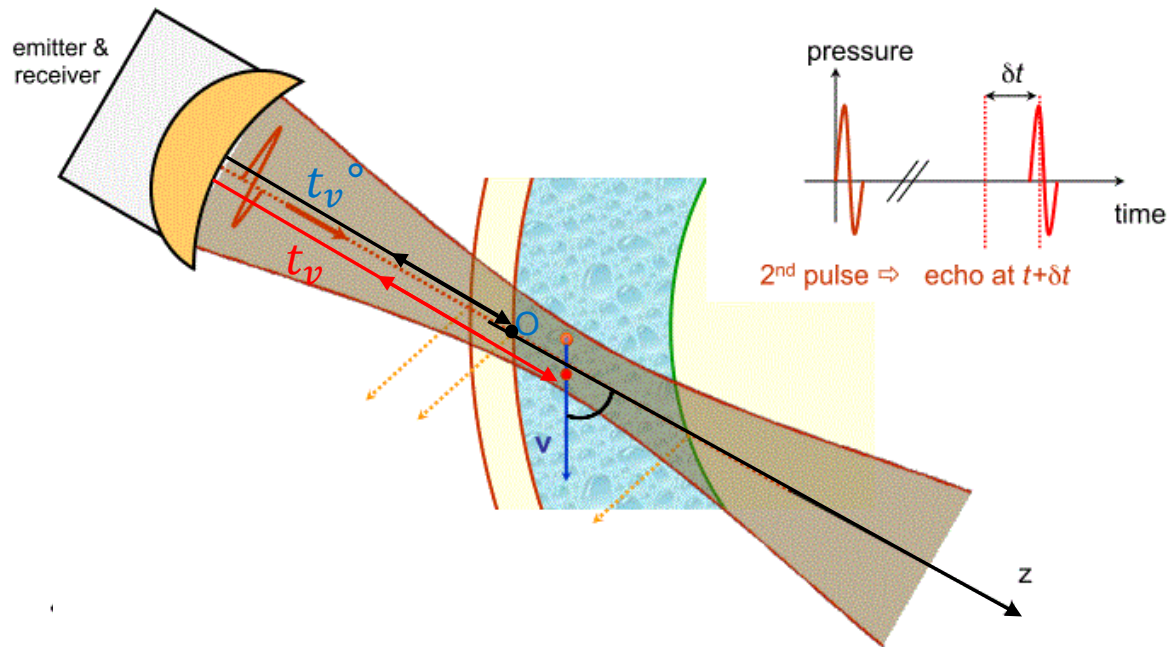
Vélocimétrie à ultrasons:



- speckle tracking algorithm $\Rightarrow v(r,t) \sin \theta$
- **spatial resolution $\sim 40 \mu\text{m}$**
- **temporal resolution $\sim 0.1 \text{ s}$ per velocity profile**

[Manneville *et al.*, *Eur. Phys. J. AP* **28**, 361 (2004)]

Vélocimétrie à ultrasons:



- Diffuseur: particule ou inhomogénéité
- Échographie: le temps d'arrivée de l'écho (t_v) donne la position

$$t_v = t_v^\circ + 2 \frac{z}{c}$$

- Vélocimétrie: En mode « burst », on mesure t_v (donc z) tous les T_b

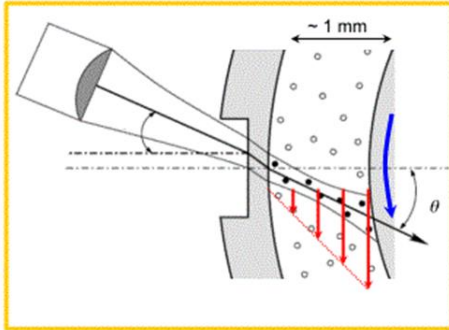
$$V_z = \frac{\Delta z}{T_b} = \frac{c(t_v(t+T_b) - t_v(t))}{2T_b}$$

$$\rightarrow z = \frac{c(t_v - t_v^\circ)}{2}$$

$$\rightarrow V_z = \frac{c}{2} \frac{\delta t_v}{T_b}$$

Vélocimétrie à ultrasons:

Suivi d'interférences des ondes rétro-diffusées: « Speckle tracking »



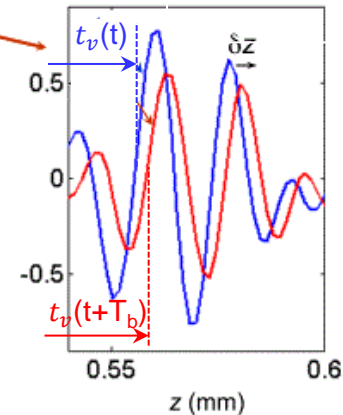
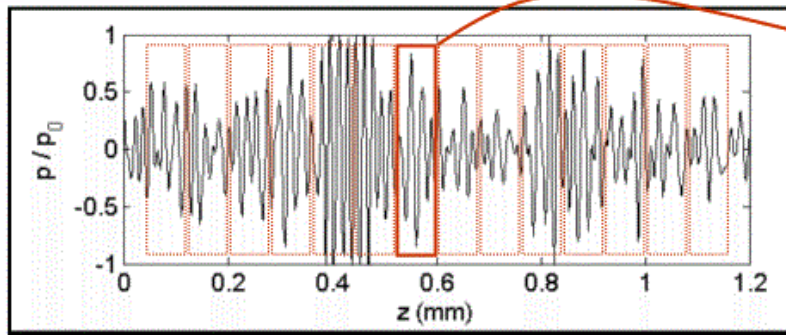
- **Signal émis:**

20 pulses à 35MHz tous les $T_b = 1\text{ms}$
($T_b = \text{«burst» period}$)

- **Analyse du signal reçu:**

« Cross correlation » sur des « petites fenêtrés

(largeur $2\lambda \sim 80\ \mu\text{m}$) $\rightarrow V_z(z)$



$$z = \frac{c (t_v - t_v^0)}{2}$$

$$V_z = \frac{c \delta t_v}{2 T_b}$$

- **Champ de vitesse dans le couette:**

$$r = R e - z \cos\theta \quad \rightarrow V_\theta(r)$$

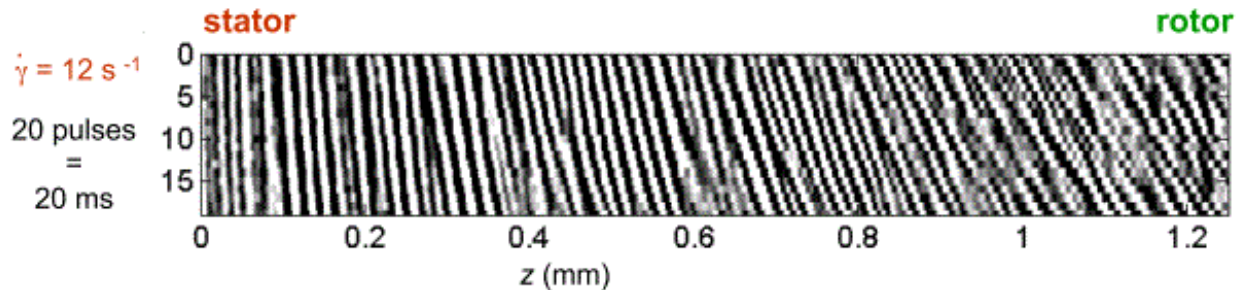
$$V_z = V_\theta \sin\theta$$

(Ok car une seule composante de vitesse dans l'écoulement)

Vélocimétrie à ultrasons:

Suivi d'interférences des ondes rétro-diffusées:
« Speckle tracking »

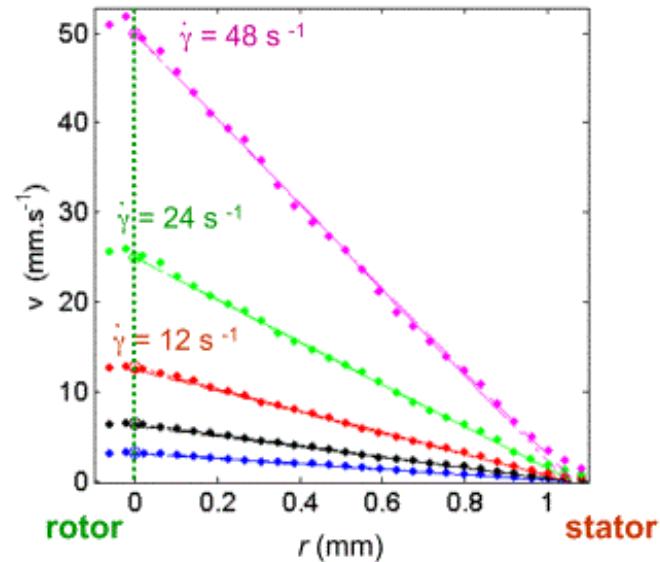
- 1% wt. **polystyrene spheres** \varnothing 3 – 10 μm ($\lambda \sim 40 \mu\text{m}$)



averaged over 1 s

- Calibration \Leftrightarrow

stator position
 $c_0 = 1480 \text{ m/s}$
 $\theta = 12.5^\circ$



Acoustique des milieux dispersés homogènes

Modèle de Biot

M. A. Biot, J. Acoust. Soc Am. **28**, 168 & 179 (1956)

D. L. Johnson & T. J. Plona, J. Acoust. Soc Am. **72**, 556 (1982)

- HYP:
- description mésoscopique : $\lambda \gg a$ (taille de pore)
 - milieux « poreux » isotrope , porosité ϕ

Accélération = div(contraintes élastiques)

$$\begin{cases} (1 - \Phi)\rho_s \frac{\partial^2 \mathbf{u}}{\partial t^2} = M\nabla(\nabla \cdot \mathbf{u}) + Q\nabla(\nabla \cdot \mathbf{U}) - N\nabla \wedge \nabla \wedge \mathbf{u} \\ \Phi\rho_f \frac{\partial^2 \mathbf{U}}{\partial t^2} = R\nabla(\nabla \cdot \mathbf{U}) + Q\nabla(\nabla \cdot \mathbf{u}) \end{cases}$$

\mathbf{u} = déplacement dans la phase solide

\mathbf{U} = déplacement dans la phase fluide

Acoustique des milieux dispersés homogènes

Modèle de Biot

M. A. Biot, J. Acoust. Soc Am. **28**, 168 & 179 (1956)

D. L. Johnson & T. J. Plona, J. Acoust. Soc Am. **72**, 556 (1982)

- HYP:
- description mésoscopique : $\lambda \gg a$ (taille de pore)
 - milieux « poreux » isotrope, porosité ϕ

Accélération = div(contraintes élastiques) + friction visqueuse + effet de masse ajoutée

$$\begin{cases} (1 - \Phi)\rho_s \frac{\partial^2 \mathbf{u}}{\partial t^2} = M\nabla(\nabla \cdot \mathbf{u}) + Q\nabla(\nabla \cdot \mathbf{U}) - N\nabla \wedge \nabla \wedge \mathbf{u} + \left(\frac{\eta\Phi^2}{K}\right)\tilde{F}(\omega)\left(\frac{\partial \mathbf{U}}{\partial t} - \frac{\partial \mathbf{u}}{\partial t}\right) + (\alpha - 1)\Phi\rho_f\left(\frac{\partial^2 \mathbf{U}}{\partial t^2} - \frac{\partial^2 \mathbf{u}}{\partial t^2}\right) \\ \Phi\rho_f \frac{\partial^2 \mathbf{U}}{\partial t^2} = R\nabla(\nabla \cdot \mathbf{U}) + Q\nabla(\nabla \cdot \mathbf{u}) - \left(\frac{\eta\Phi^2}{K}\right)\tilde{F}(\omega)\left(\frac{\partial \mathbf{U}}{\partial t} - \frac{\partial \mathbf{u}}{\partial t}\right) - (\alpha - 1)\Phi\rho_f\left(\frac{\partial^2 \mathbf{U}}{\partial t^2} - \frac{\partial^2 \mathbf{u}}{\partial t^2}\right) \end{cases}$$

2 régimes de fréquence:

$$\left(\begin{array}{l} \delta_v = \sqrt{\frac{2\nu}{\omega}} > a \\ \delta_v < a \end{array} \right) \begin{array}{l} \bullet \text{ LF: } F(0) = 1 \\ \bullet \text{ HF : } F(\omega) \sim a/\delta_v (1+i) \end{array}$$

Modules élastiques dans le modèle de Biot :

$$\left\{ \begin{array}{l} \sigma_{ij}^s = ((M - 2N)\nabla \cdot \mathbf{u} + Q\nabla \cdot \mathbf{U}) \delta_{ij} + N e_{ij} \\ \sigma_{ij}^f = (R\nabla \cdot \mathbf{U} + Q\nabla \cdot \mathbf{u}) \delta_{ij} \end{array} \right. \quad e_{ij} = \left(\frac{\partial u_j}{\partial x_i} + \frac{\partial u_i}{\partial x_j} \right)$$

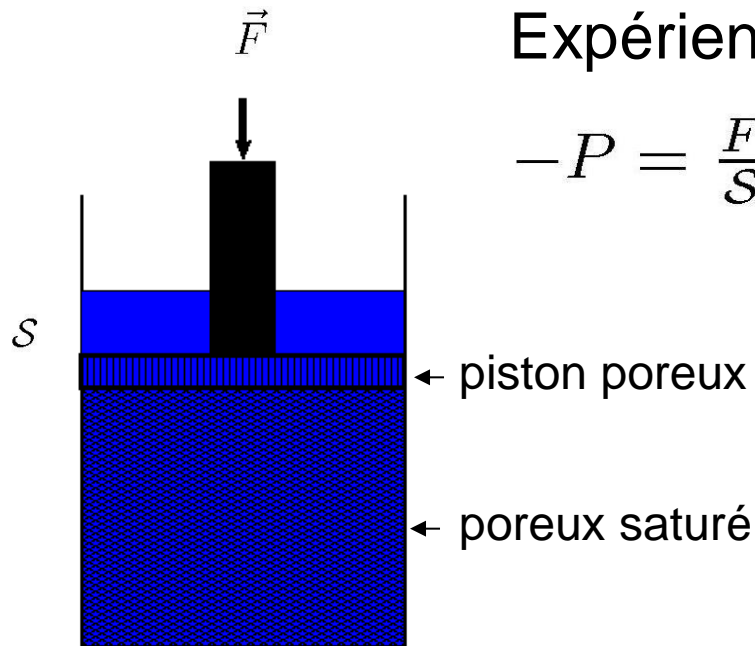
$$M = \frac{4}{3}N + \frac{(1-\Phi)(1-\Phi - \frac{K_p}{K_s})K_s + \Phi \frac{K_s}{K_f} K_p}{1-\Phi - \frac{K_p}{K_s} + \Phi \frac{K_s}{K_f}}$$

$$Q = \frac{\Phi(1-\Phi - \frac{K_p}{K_s})K_s}{1-\Phi - \frac{K_p}{K_s} + \Phi \frac{K_s}{K_f}}$$

$$R = \frac{\Phi^2 K_s}{1-\Phi - \frac{K_p}{K_s} + \Phi \frac{K_s}{K_f}}$$

Modules élastiques dans le modèle de Biot :

$$\begin{cases} \sigma_{ij}^s = ((M - 2N)\nabla \cdot \mathbf{u} + Q\nabla \cdot \mathbf{U}) \delta_{ij} + N e_{ij} & e_{ij} = \left(\frac{\partial u_j}{\partial x_i} + \frac{\partial u_i}{\partial x_j}\right) \\ \sigma_{ij}^f = (R\nabla \cdot \mathbf{U} + Q\nabla \cdot \mathbf{u}) \delta_{ij} \end{cases}$$



Expérience statique:

$$-P = \frac{F}{S} = K_p \nabla \cdot \mathbf{u}$$

$$\begin{cases} -P = (M - \frac{4}{3}N)\nabla \cdot \mathbf{u} + Q\nabla \cdot \mathbf{U} \\ 0 = R\nabla \cdot \mathbf{U} + Q\nabla \cdot \mathbf{u} \end{cases}$$

$$K_p = \left(M - \frac{4}{3}N - \frac{Q^2}{R} \right)$$

Ondes acoustiques en milieu dispersé :

$$\left\{ \begin{array}{l} (1 - \Phi)\rho_s \frac{\partial^2 \mathbf{u}}{\partial t^2} = M\nabla(\nabla \cdot \mathbf{u}) + Q\nabla(\nabla \cdot \mathbf{U}) - N\nabla \wedge \nabla \wedge \mathbf{u} + \left(\frac{\eta\Phi^2}{K}\right)\tilde{F}(\omega)\left(\frac{\partial \mathbf{U}}{\partial t} - \frac{\partial \mathbf{u}}{\partial t}\right) + (\alpha - 1)\Phi\rho_f\left(\frac{\partial^2 \mathbf{U}}{\partial t^2} - \frac{\partial^2 \mathbf{u}}{\partial t^2}\right) \\ \Phi\rho_f \frac{\partial^2 \mathbf{U}}{\partial t^2} = R\nabla(\nabla \cdot \mathbf{U}) + Q\nabla(\nabla \cdot \mathbf{u}) - \left(\frac{\eta\Phi^2}{K}\right)\tilde{F}(\omega)\left(\frac{\partial \mathbf{U}}{\partial t} - \frac{\partial \mathbf{u}}{\partial t}\right) - (\alpha - 1)\Phi\rho_f\left(\frac{\partial^2 \mathbf{U}}{\partial t^2} - \frac{\partial^2 \mathbf{u}}{\partial t^2}\right) \end{array} \right.$$

$$\left\{ \begin{array}{l} \mathbf{0} = M\nabla(\nabla \cdot \mathbf{u}) + Q\nabla(\nabla \cdot \mathbf{U}) - N\nabla \wedge \nabla \wedge \mathbf{u} + \omega^2(\rho_{\tilde{1}1}\mathbf{u} + \rho_{\tilde{1}2}\mathbf{U}) \\ \mathbf{0} = R\nabla(\nabla \cdot \mathbf{U}) + Q\nabla(\nabla \cdot \mathbf{u}) + \omega^2(\rho_{\tilde{2}2}\mathbf{U} + \rho_{\tilde{1}2}\mathbf{u}) \end{array} \right.$$

3 modes (pour $K_p, N \neq 0$):

- 1 onde transverse : $\tilde{v}_t^2 = \frac{N}{\rho_{eff}}$

- 2 ondes de compression :
1 onde rapide (solide et liquide en phase)

+ 1 onde lente à haute fréquence
(T. J. Plona, Appl. Phys. Lett. **36**, 259 (1980))

Ondes de compression en milieu dispersé :

		$\omega \gg \omega_c$	$\omega \ll \omega_c$
Mode rapide	$c_{fast} = \sqrt{\frac{K_{eff}}{\rho_{eff}}}$ avec: $\rho_{eff} = \frac{\alpha \rho_f [(1-\Phi)\rho_s + (1-\alpha^{-1})\Phi\rho_f]}{\Phi(1-\Phi)\rho_s + (\alpha - 2\Phi + \Phi^2)\rho_f} = [(1-\Phi)\rho_s + \Phi\rho_f] \text{ for } \alpha \rightarrow \infty$	$k'' \propto \frac{\sqrt{\omega}}{a}$	$k'' \propto a^2 \omega^2$
Pour $K_f < (K_p, N) < K_s$ (consolidé)	$K_{eff} = K_p + \frac{4}{3}N$	$\omega \gg \omega_c$	$\omega \ll \omega_c$
Mode lent		$c_{slow} = \frac{c_f}{\sqrt{\alpha}}$	diffusif
Pour $K_p=N=0$ (non-consolidé)	$\frac{1}{K_{eff}} = \frac{1-\Phi}{K_s} + \frac{\Phi}{K_f}$	$\omega \gg \omega_c$	$\omega \ll \omega_c$
Mode lent		inexistant	diffusif

Ondes de compression en milieu dispersé :

$\omega \ll \omega_c$: 1 mode rapide, $c_{fast} = \sqrt{\frac{K_{eff}}{\rho_{eff}}}$, atténuation: $k'' \propto a^2 \omega^2$
 + 1 mode lent diffusif

$\omega \gg \omega_c$: atténuation: $k'' \propto \frac{\sqrt{\omega}}{a}$

For $K_f < (K_b, N) < K_s$

1 mode rapide $c_{fast} = \sqrt{\frac{K_{eff}}{\rho_{eff}}}$ avec $K_{eff} = K_p + \frac{4}{3}N$

$$\rho_{eff} = \frac{\alpha \rho_f [(1-\Phi)\rho_s + (1-\alpha^{-1})\Phi\rho_f]}{\Phi(1-\Phi)\rho_s + (\alpha - 2\Phi + \Phi^2)\rho_f} = [(1-\Phi)\rho_s + \Phi\rho_f] \text{ for } \alpha \rightarrow \infty$$

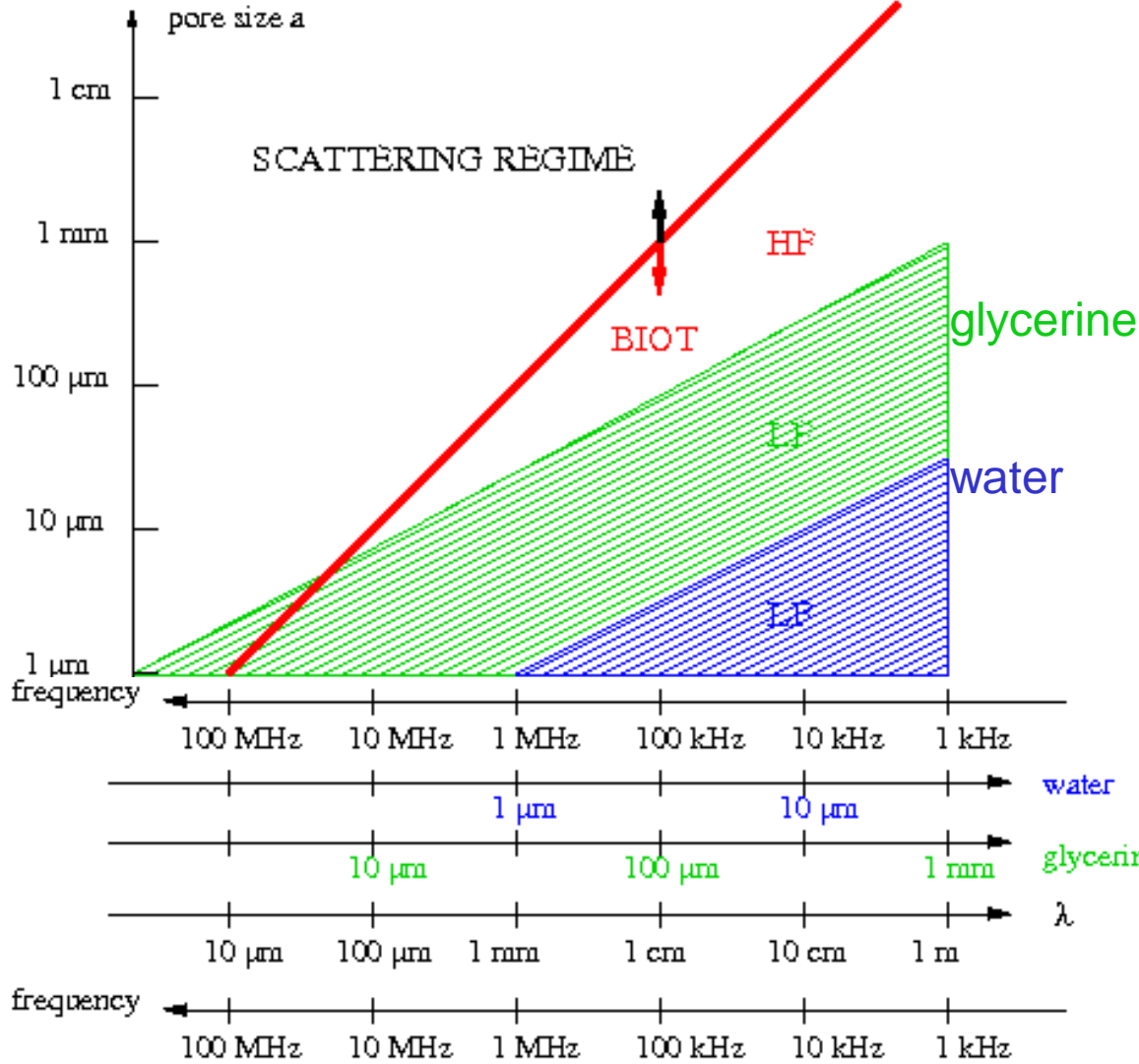
+1 mode lent propagatif: $c_{slow} = \frac{c_f}{\sqrt{\alpha}}$

For $K_p=N=0$

un mode rapide seul $c_{fast} = \sqrt{\frac{K_{eff}}{\rho_{eff}}}$ avec: $\frac{1}{K_{eff}} = \frac{1-\Phi}{K_s} + \frac{\Phi}{K_f}$

$$\rho_{eff} = \frac{\alpha \rho_f [(1-\Phi)\rho_s + (1-\alpha^{-1})\Phi\rho_f]}{\Phi(1-\Phi)\rho_s + (\alpha - 2\Phi + \Phi^2)\rho_f}$$

Régimes de Biot :



Peau visqueuse:

$$\delta_v = \sqrt{\frac{2\nu}{\omega}}$$

Onde acoustique
(pour $v \sim 1 \text{ km/s}$)

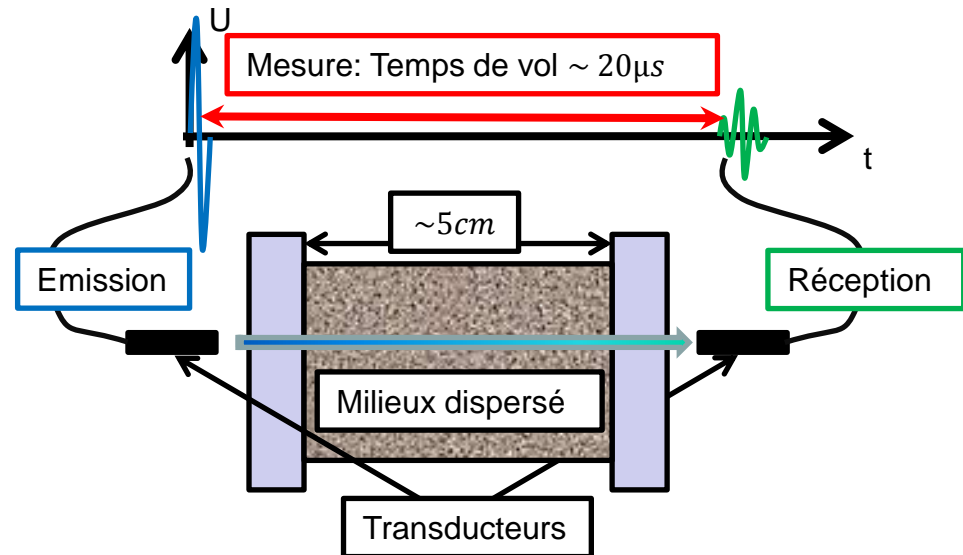
Mesures vitesse du son/atténuation dans les milieux dispersés

$$f \approx 1 \text{ MHz}$$

$$\lambda \approx 1 \text{ mm}$$

Vitesse du son:

$$V^2 = K_{\text{eff}} / \rho_{\text{eff}}$$



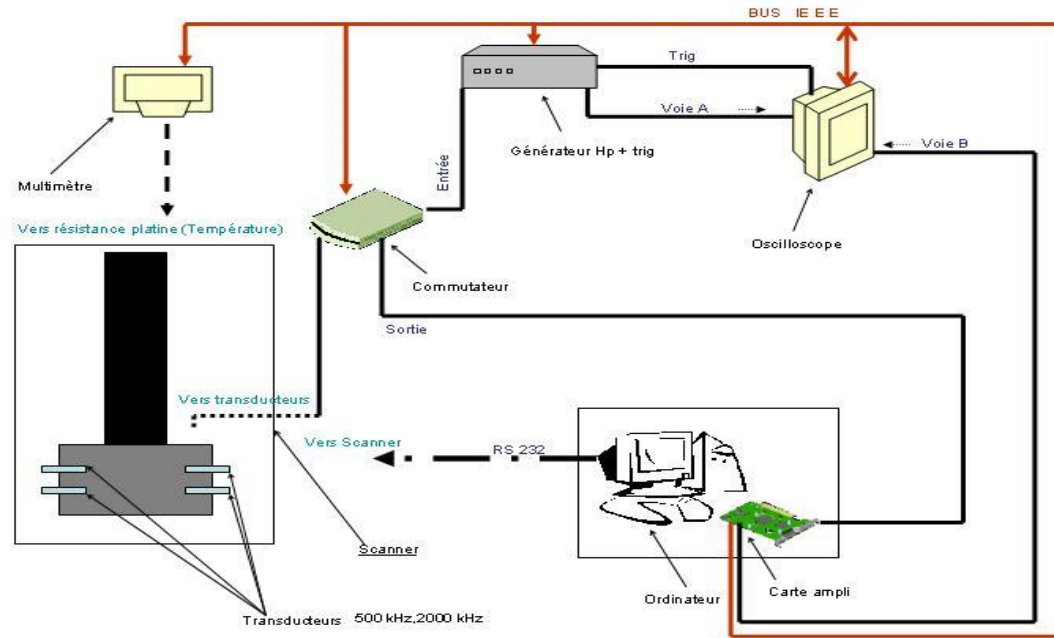
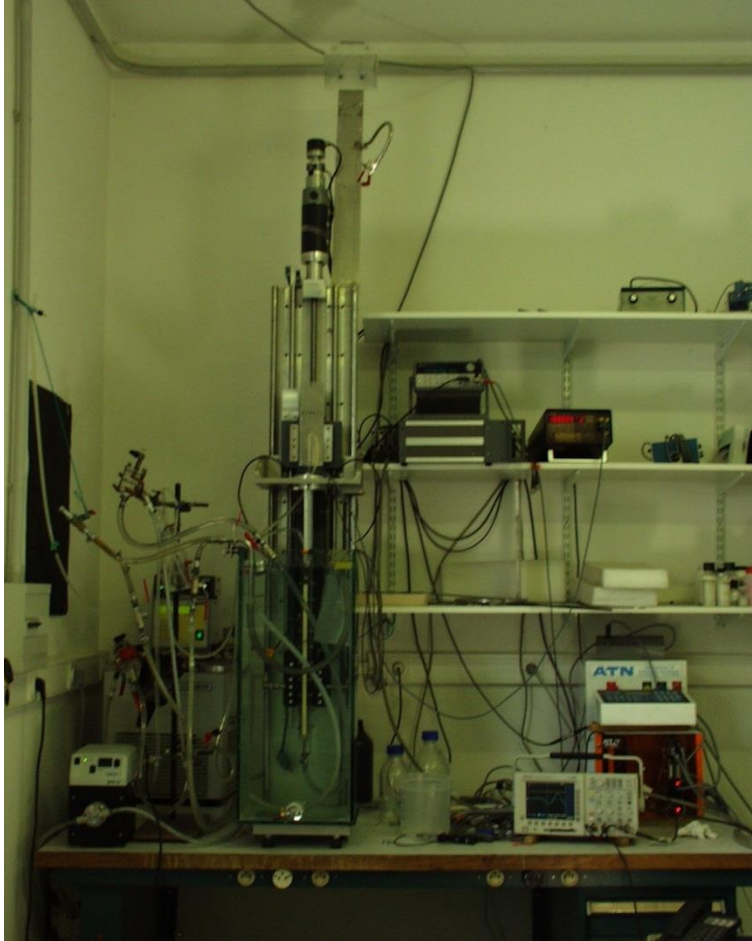
Dans les suspensions,

V dépend de la concentration en particules, ϕ

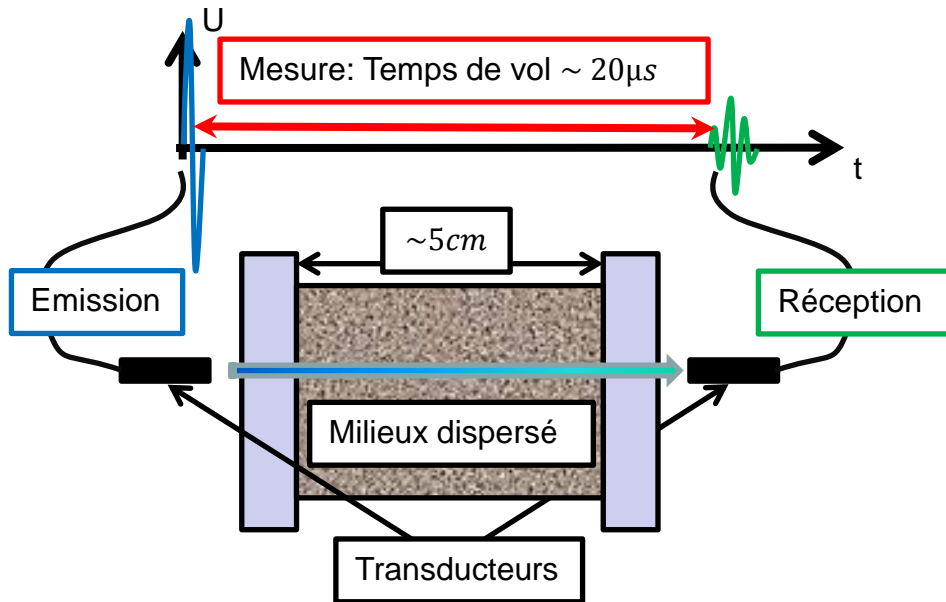
Dans les poreux saturés d'un mélange de fluides,

V dépend de la concentration du mélange, C .

Chaîne d'acquisition



Suivi de zéro



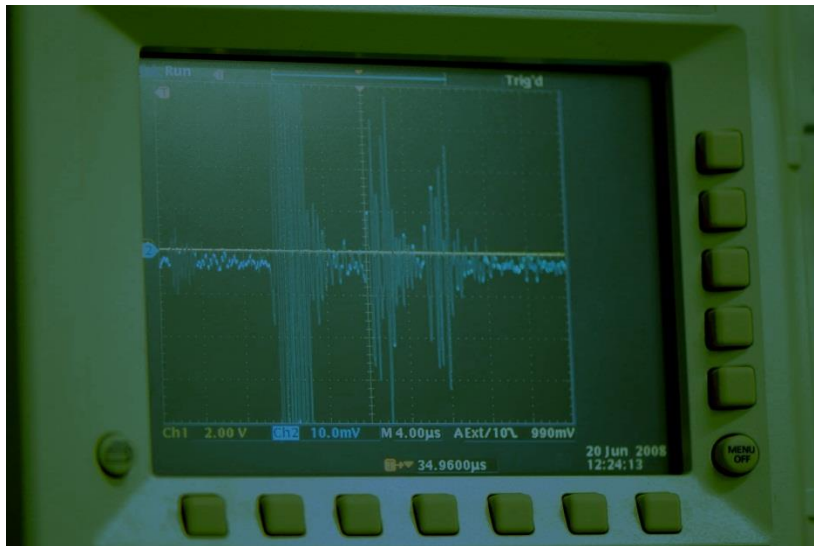
- Intervalomètre ou oscilloscope: mesure du premier zéro montant, après un délai de déclenchement . Ok à « basse fréquence » (pour $\Delta t_v < T$)

Pb d'interférence aux fronts!

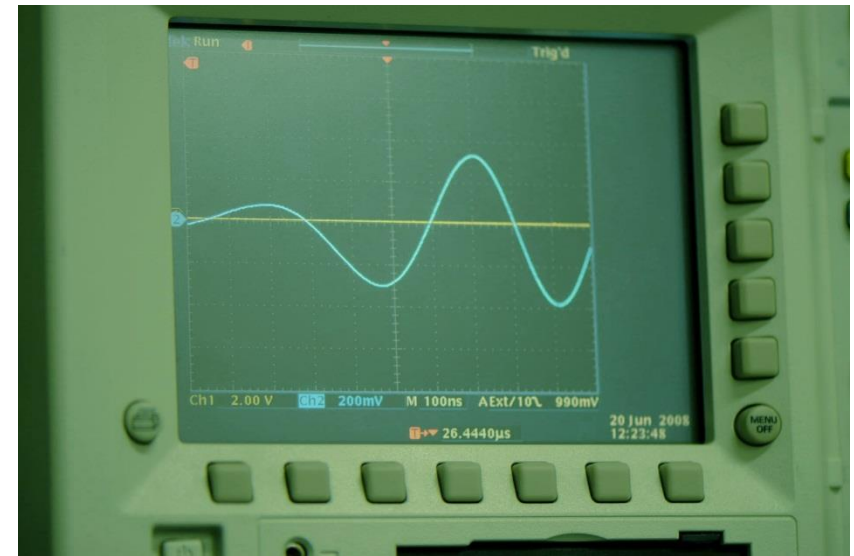
- Suivi du $n^{\text{ème}}$ zéro
- Oscilloscope en deux temps:

Suivi de zéro en deux temps

Basse résolution temporelle
Haute résolution en amplitude

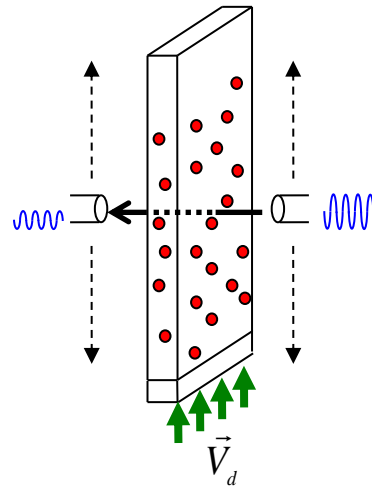
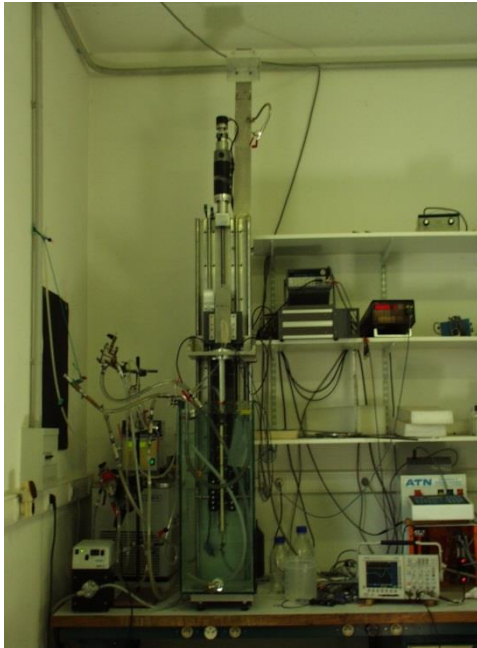


Haute résolution temporelle
Résolution adaptée en amplitude

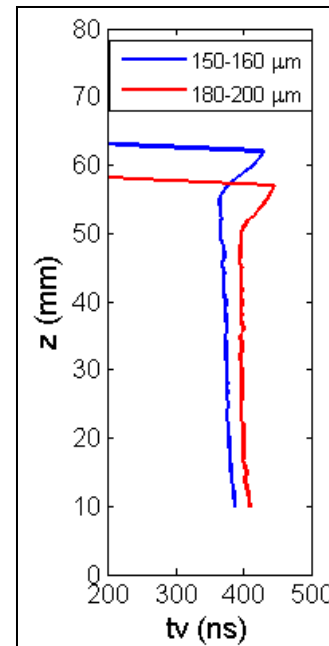


- Temps de vol
- amplitude du signal

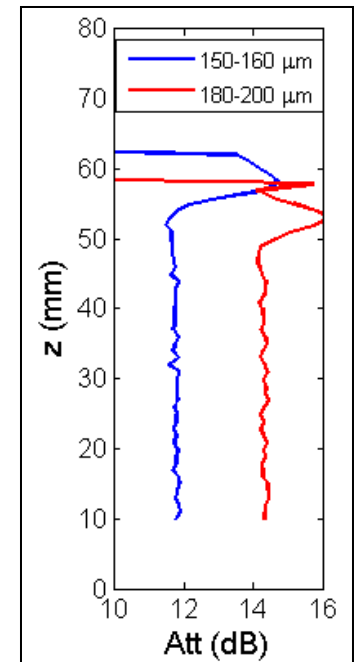
Etalonnage dans une suspension monodisperse fluidisée



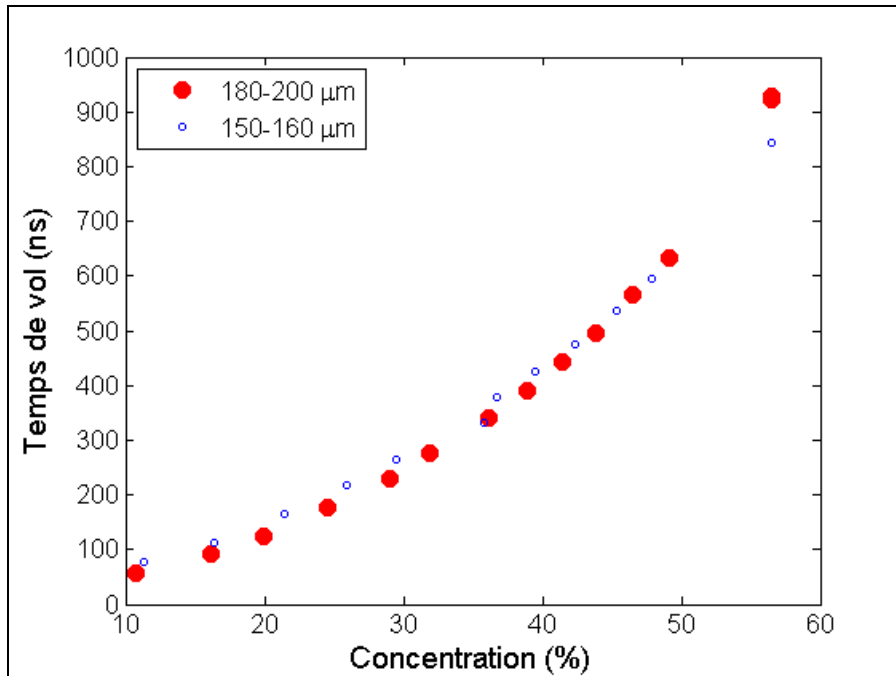
Temps de vol



Atténuation



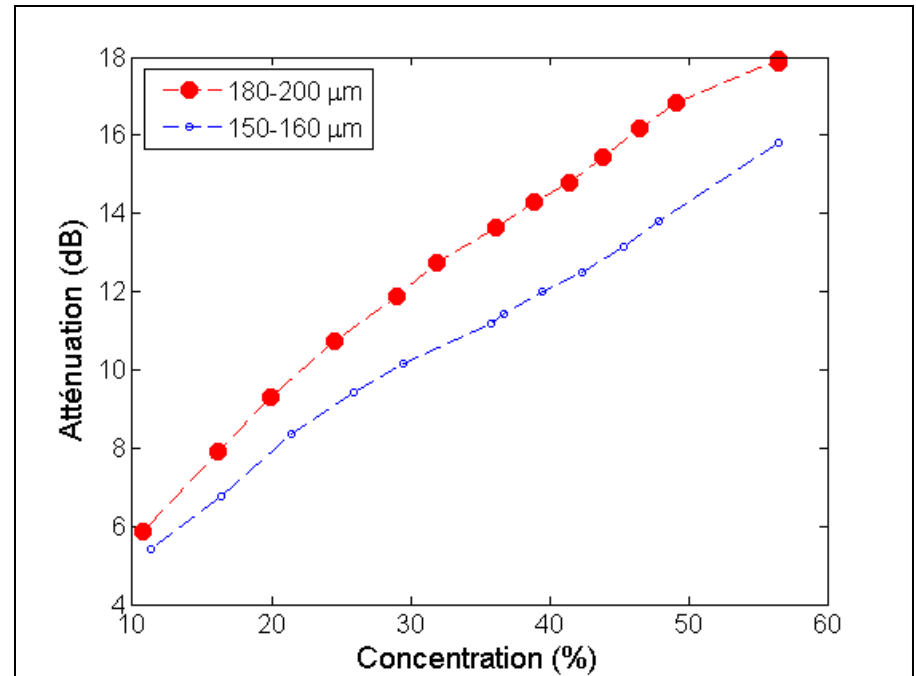
Vitesse et atténuation à λ proche de la taille des particules ($f=3\text{MHz}$)



Temps de vol



concentration

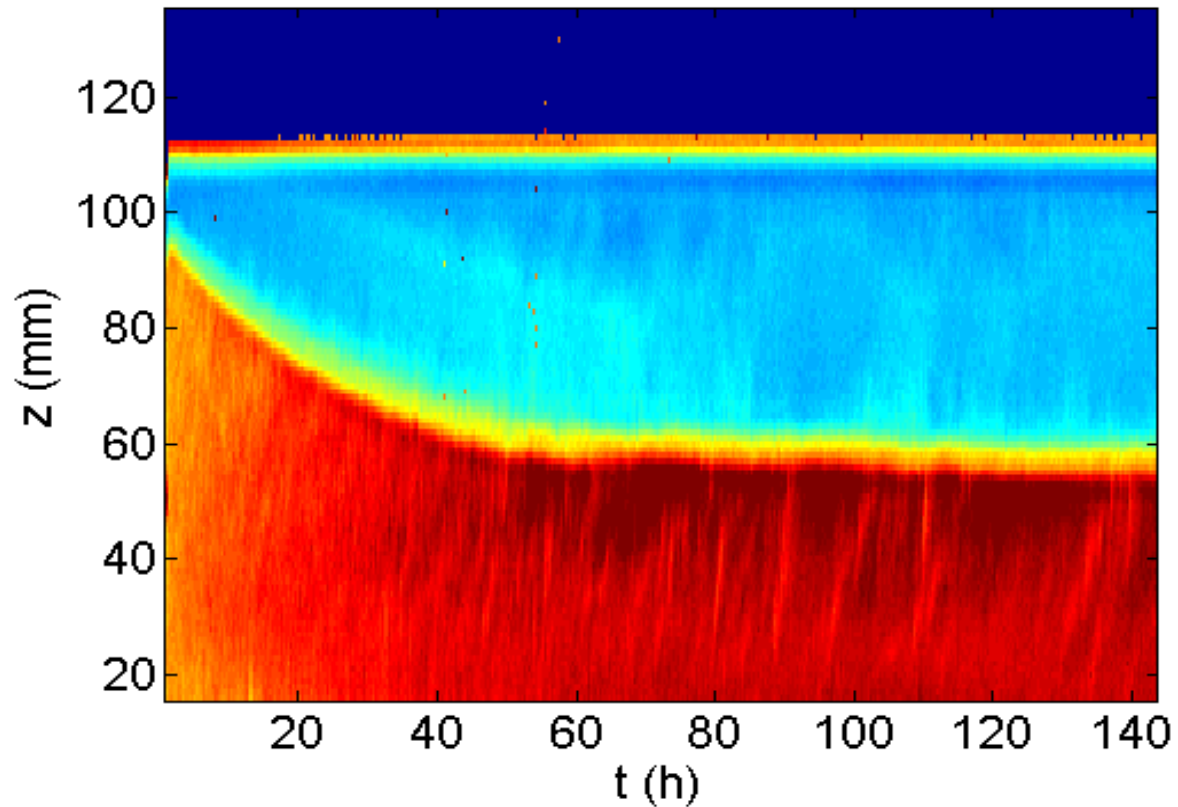


Atténuation

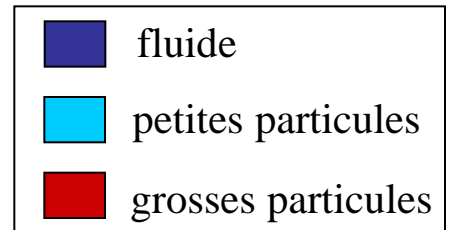


Taille des particules

Mesure de la dynamique de ségrégation

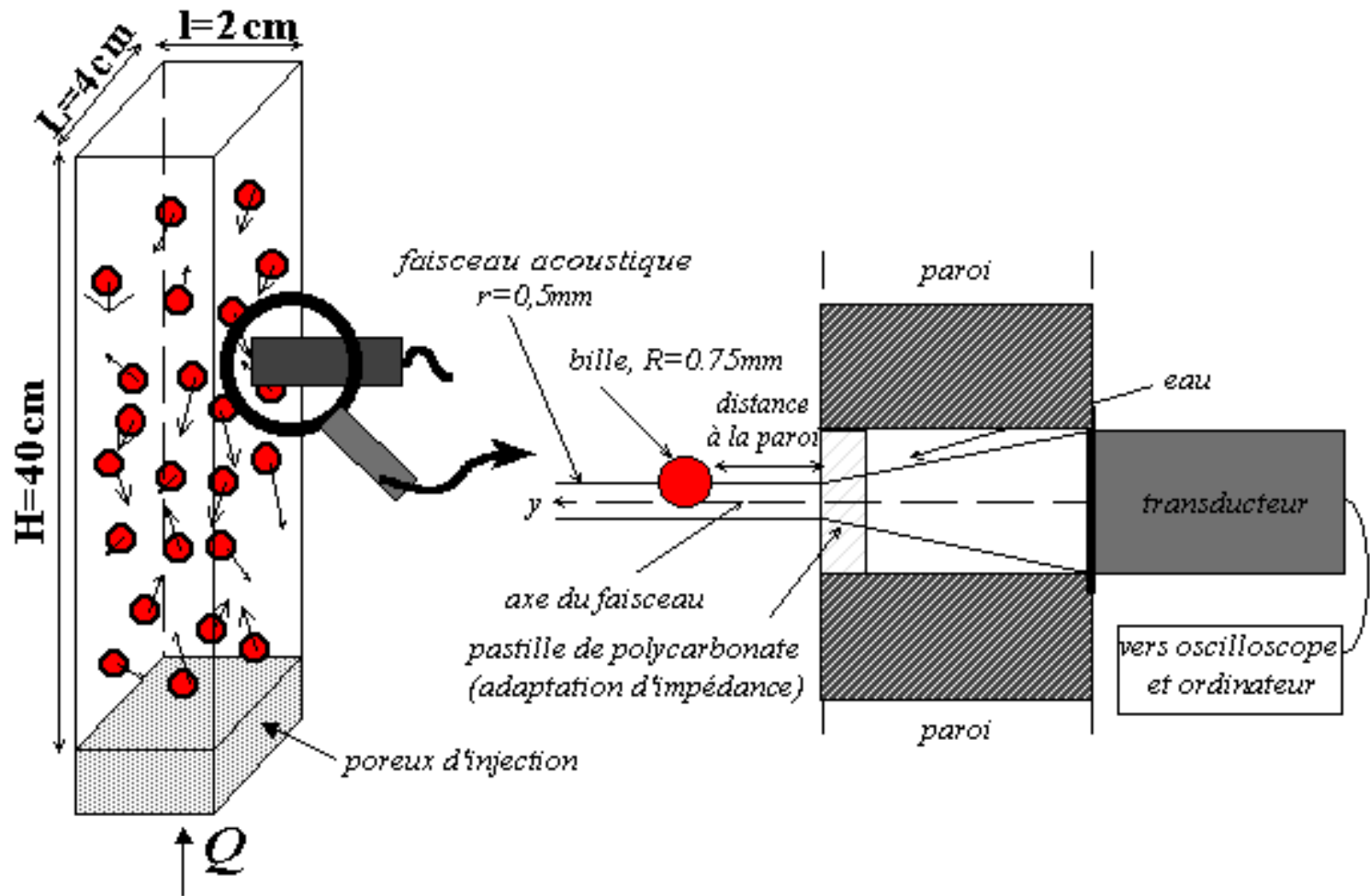


Atténuation
codée en couleurs

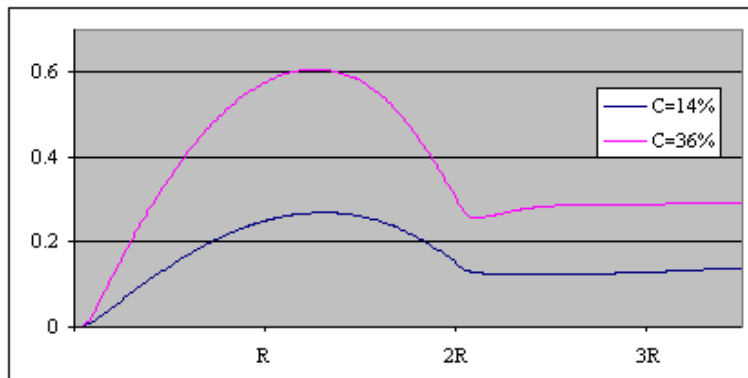
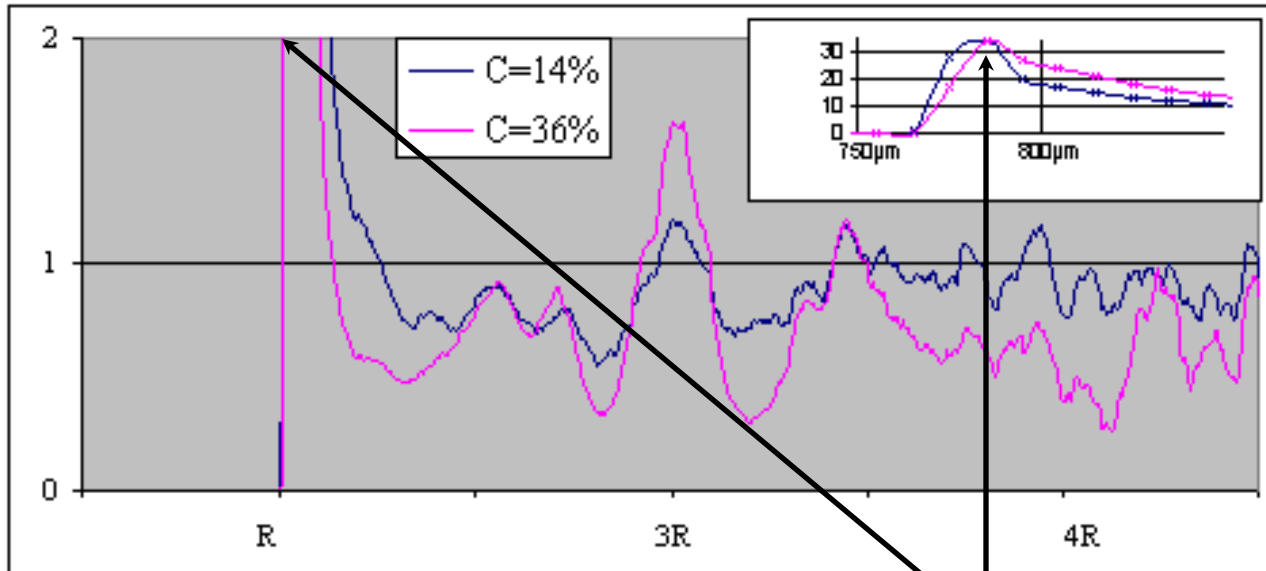


$$\lambda = a_g/a_p = 1.689$$
$$\phi = 0.545$$

Mesure de distance (f=10 MHz): résolution >10 μ m

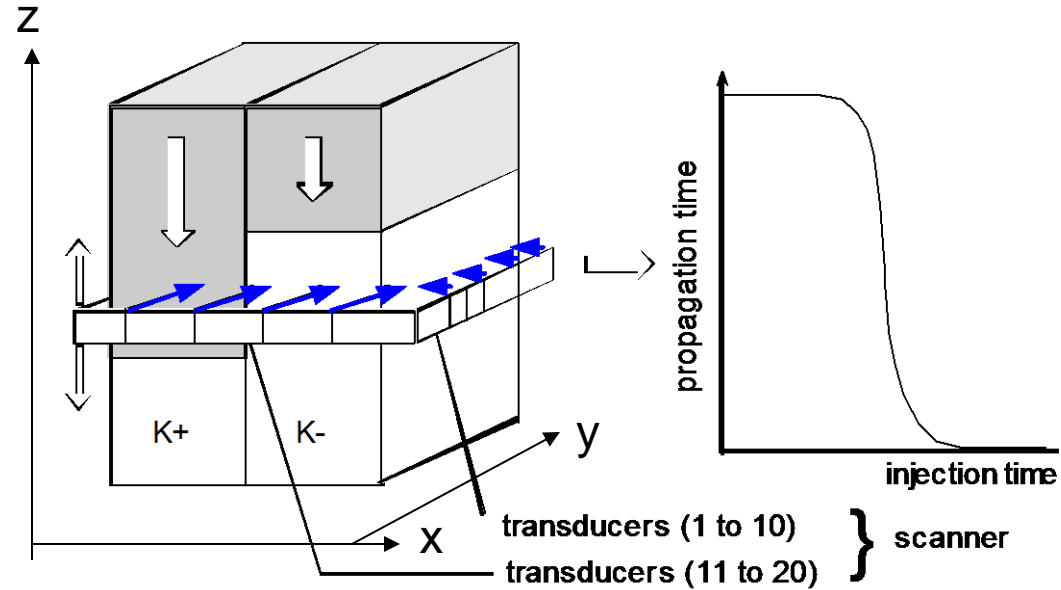


Statistique des échos = statistique de présence des billes



Monocouche de billes d'épaisseur $\sim 30 \mu\text{m}$ située à $\sim (R+30) \mu\text{m}$ de la paroi. Probabilité 30 fois plus élevée que la probabilité moyenne, contre qlq unités pour une distribution de type "sphère dure ».

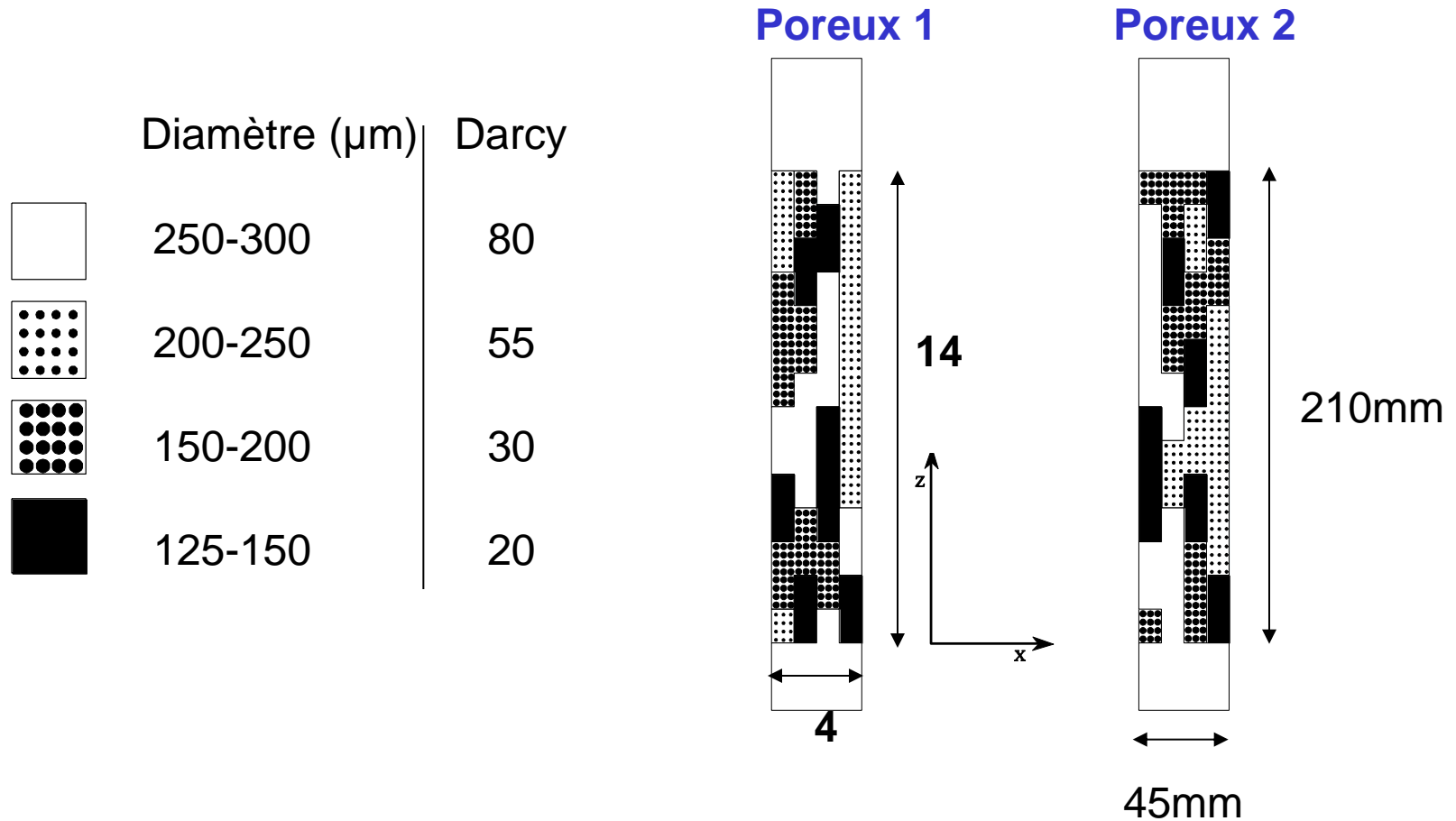
Mesures de la concentration de fluides s'écoulant dans un milieu poreux



Résolution en concentration de fluides : $\Delta\Phi < 0.01$
Résolution spatiale : $\Delta x \times \Delta z \sim 2\text{mm} \times 1\text{cm}$
Résolution temporelle : $\Delta t \sim 2\text{s} / \text{couche scannée } (z_i)$

Mesures de la concentration de fluides s'écoulant dans un milieu poreux

(KRETZ V., BEREST P., HULIN J.P., SALIN D. , Water. Resour. Res. **39** (2), 1032-1040 (2003).)



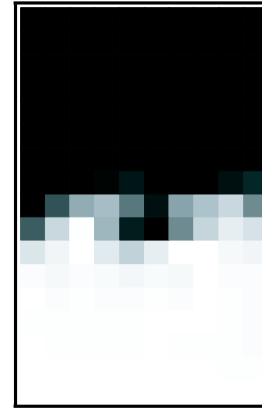
Mesures de la concentration de fluides s'écoulant dans un milieu poreux

Viscosité identique : $M = \mu_1/\mu_2 = 1$

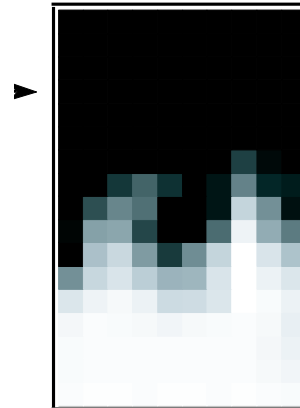
Densités différentes: $\Delta\rho = 46 \text{ kg/m}^3$

fluide	μ (Pa.s)	ρ (kg/m ³)	C_{fluid} (m/s)
38% sucre	$5.3 \cdot 10^{-3}$	1166	2030
48% glycérine	$5.4 \cdot 10^{-3}$	1120	2180

Poreux 1



(a)



(b)

Poreux 2



(c)



(d)

Stable

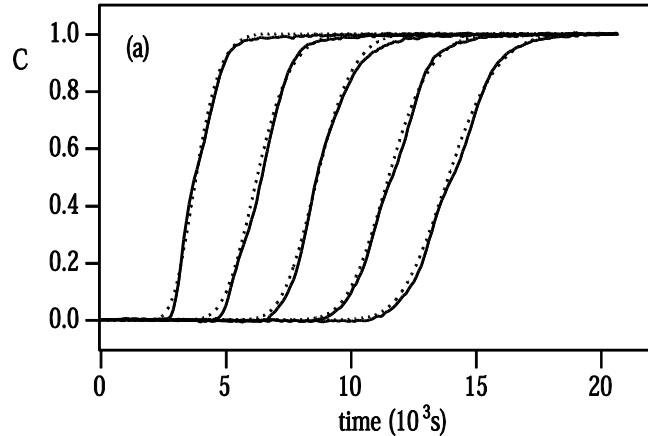
$q = 25 \text{ mm/h}$

Instable

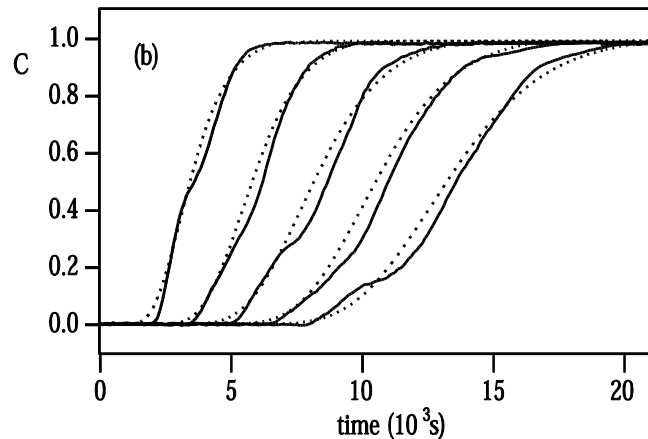
Etalement des fronts entre deux fluides miscibles

Poreux 1

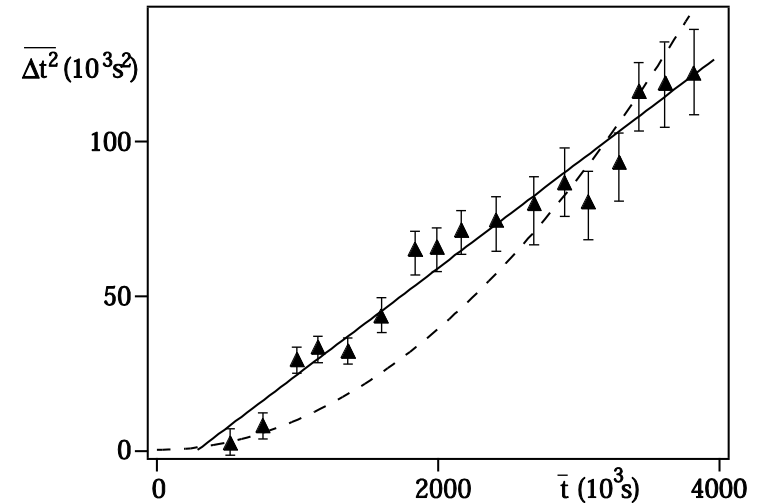
Stable



Instable



Convectif or dispersif ?



⇒ dispersif

(KRETZ V., BEREST P., HULIN J.P., SALIN D. ,
Water. Resour. Res. **39** (2), 1032-1040 (2003).)

Sources et compléments:

- Réflexion et réfraction [cas général](#)
- Approche tensorielle: [cours Marc François](#)
- Ultrasons : [T.G. Leighton , Prog. in Biophys. and Molec. Biol.93 \(2007\) 3–83](#)
- Vélocimétrie : [Manneville et al Eur. Phys. J. Ap. 28,361 \(2004\)](#)
- Acoustique en milieux poreux :
 - [Biot, J. Acoust. Soc. Am. 28,168 \(1956\), Biot, J. Acoust. Soc. Am. 28,179\(1956\), Biot, "General Solutions of the Equations of Elasticity and Consolidation for a Porous Material" \(1956\), Biot, "Theory of Deformation of a Porous Viscoelastic Anisotropic Solid" \(1956\)](#)
 - [Plona, "Observation of the Second Bulk Compressional Wave in a Porous Medium at Ultrasonic Frequencies" \(1980\),](#)
 - [Johnson et al, "Tortuosity and Acoustic Slow Waves" \(1980\),](#)
 - [Kretz et al, "An Experimental Study of the Effects of Density and Viscosity Contrastes on Macrodispersion in Porous Media" \(2003\),](#)
- Supports pédagogiques animés: <http://www.phy.ntnu.edu.tw/>